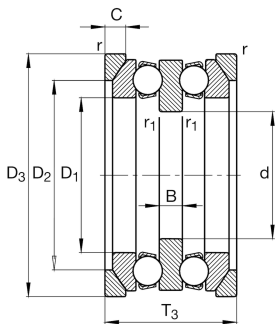
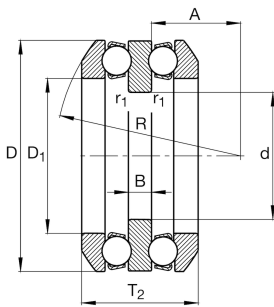
**FAG****54238-MP**

## Rodamiento axial a bolas

Axial deep groove ball bearing 542...-MP, double direction, with spherical housing washer, solid brass cage

## Información técnica



## Variante de su producto actual

Jaula	MP	Jaula maciza de latón
Clase de tolerancia	PN	Tolerance class PN, acc. to DIN 620
Medidas / termoestabilizadas	S1	Anillos de estabilidad dimensional de hasta 200°

## Medidas principales y datos de rendimiento

d	160 mm	Diámetro del agujero
D	270 mm	Diámetro exterior
T <sub>2</sub>	116,4 mm	Altura
C <sub>a</sub>	335.000 N	Capacidad de carga dinámica, axial
C <sub>0a</sub>	1.170.000 N	Capacidad de carga estática, axial
C <sub>ua</sub>	35.500 N	Límite de carga por fatiga, axial
n <sub>G</sub>	1.540 1/min	Velocidad límite de rotación
n <sub>gr</sub>	1.990 1/min	Velocidad de referencia
≈m	21,295 kg	Peso

## Medidas de montaje

d <sub>a max</sub>	190 mm	Diámetro máximo del resalte del eje
D <sub>a max</sub>	230 mm	Diámetro máximo del resalte del alojamiento
r <sub>a max</sub>	2 mm	Radio máximo de la ranura
r <sub>a1 max</sub>	2 mm	Radio máximo de la ranura



### Medidas

D <sub>1</sub>	194,7 mm	Diámetro de agujero del anillo de alojamiento
B	24 mm	Altura del anillo del eje
r <sub>min</sub>	2 mm	Medidas mínimas del chaflán
r <sub>1 min</sub>	2 mm	Medidas mínimas del chaflán
R	200 mm	Radio del anillo de alojamiento esférico
A	93,5 mm	Distancia del punto central
T <sub>3</sub>	131 mm	Altura con contraplaca
D <sub>2</sub>	230 mm	Bore diameter seat washer
D <sub>3</sub>	280 mm	Outside diameter seat washer
C	23 mm	Height seat washer

### Rango de temperatura

T <sub>min</sub>	-30 °C	Temperatura mín. de funcionamiento
T <sub>max</sub>	200 °C	Temperatura máx. de funcionamiento

### Factores de cálculo

A	7,2	Factor mínimo de carga
---	-----	------------------------

### Información adicional

U238

Contraplaca

### Características

-  Carga axial en un sentido
-  Carga axial en ambos sentidos
-  Lubricación con grasa
-  Lubricación con aceite
-  No obturado
-  Errores de alineación estáticos